

# YVO<sub>4</sub>:Eu<sup>3+</sup>有序纳米球及其表面包覆 GdVO<sub>4</sub> 的水热合成与性能研究

白海英 刘桂霞\* 王进贤 董相廷 于文生

(长春理工大学化学与环境工程学院, 应用化学与纳米技术吉林省高校重点实验室, 长春 130022)

**摘要:** 采用水热法制备出了均匀有序的球形 YVO<sub>4</sub>:Eu<sup>3+</sup>发光材料, 并用该法在其表面包覆一层基质材料 GdVO<sub>4</sub>。XRD 分析表明包覆前后的样品均为四方晶系锆英石结构的 YVO<sub>4</sub>, 且晶体发育良好。FTIR 谱图观测到了 V-O、Y-O 伸缩振动吸收峰。SEM 照片表明包覆前后样品均为均匀分散的纳米片组装的有序球形结构。XPS 分析进一步证明形成了核壳结构的 YVO<sub>4</sub>:Eu<sup>3+</sup>@GdVO<sub>4</sub> 发光材料。荧光光谱表明, YVO<sub>4</sub>:Eu<sup>3+</sup>表面包覆 GdVO<sub>4</sub> 之后, 发射光强度比未包覆的 YVO<sub>4</sub>:Eu<sup>3+</sup>有所增强。

**关键词:** 水热法; 核壳; YVO<sub>4</sub>:Eu<sup>3+</sup>; 发光材料

中图分类号: O611.4; O614.33 文献标识码: A 文章编号: 1001-4861(2012)10-2155-05

## Hydrothermal Synthesis and Properties of YVO<sub>4</sub>:Eu<sup>3+</sup> Ordered Nanospheres and Coating GdVO<sub>4</sub> on Their Surface

BAI Hai-Ying LIU Gui-Xia\* WANG Jin-Xian DONG Xiang-Ting YU Wen-Sheng

(School of Chemistry and Environmental Engineering, Changchun University of Science and Technology, Key Laboratory of Applied Chemistry and Nanotechnology at Universities of Jilin Province, Changchun 130022, China)

**Abstract:** Uniform ordered spherical YVO<sub>4</sub>:Eu<sup>3+</sup> luminescent materials and coating GdVO<sub>4</sub> on their surface were synthesized by hydrothermal method. XRD patterns show that the samples before and after coated are all tetragonal zircon structured YVO<sub>4</sub>, and the crystal grows well. FTIR spectra present the V-O, Y-O stretching vibration absorption peaks. SEM images indicate that the samples before and after coated are all in ordered uniform spherical shape. XPS analysis further proves that the YVO<sub>4</sub>:Eu<sup>3+</sup>@GdVO<sub>4</sub> core-shell structure has been formed. Photoluminescence spectra show that the emission intensities of YVO<sub>4</sub>:Eu<sup>3+</sup>@GdVO<sub>4</sub> core-shell composite particles are higher than that of the YVO<sub>4</sub>:Eu<sup>3+</sup> core particles.

**Key words:** hydrothermal method; core-shell; YVO<sub>4</sub>:Eu<sup>3+</sup>; luminescence materials

YVO<sub>4</sub>:Eu<sup>3+</sup>是一种高效的红色荧光粉<sup>[1-6]</sup>, 其主要发射波长位于 619 nm, 具有良好的色纯度。在 YVO<sub>4</sub>:Eu<sup>3+</sup>中, VO<sub>4</sub><sup>3-</sup>可以将它吸收的能量有效地传递给 Eu<sup>3+</sup>离子, 从而增强 Eu<sup>3+</sup>离子的发光。1964 年, YVO<sub>4</sub>:Eu<sup>3+</sup>首次被用作彩色电视红粉, 由于其在紫外光照射下, 具有稳定的发光效率, 后来又被用于高压汞灯中。随着纳米材料的发展, YVO<sub>4</sub>:Eu<sup>3+</sup>纳米发光材料在大屏幕平板显示、绿色照明等领域有广阔的应用前景。

目前纳米 YVO<sub>4</sub>:Eu<sup>3+</sup>的制备方法很多, 如溶胶-凝胶法<sup>[7]</sup>、水热法<sup>[8-12]</sup>、燃烧法<sup>[13]</sup>等。但这些方法制备的 YVO<sub>4</sub>:Eu<sup>3+</sup>纳米发光材料的形貌多不规则, 尺寸分布较宽。合成出形貌均匀结构有序, 尺寸可控的 YVO<sub>4</sub>:Eu<sup>3+</sup>纳米发光材料一直是人们的研究热点<sup>[14]</sup>。为了进一步提高 YVO<sub>4</sub>:Eu<sup>3+</sup>纳米发光材料的发光性能, 人们尝试在其表面包覆一层基质材料, 如包覆 YVO<sub>4</sub><sup>[15]</sup>、YPO<sub>4</sub><sup>[16]</sup>和 YBO<sub>3</sub><sup>[17]</sup>等, 研究表明纳米级的

收稿日期: 2011-12-23。收修改稿日期: 2012-03-14。

国家自然科学基金(No.51072026, 50972020)和吉林省科技发展计划(20090528)资助项目。

\*通讯联系人。E-mail: liuguixia22@yahoo.com.cn

$\text{YVO}_4:\text{Eu}^{3+}$  表面包覆无掺杂的基质材料能提高其发光强度。 $\text{GdVO}_4$  是发光材料的良好的基质材料，并且  $\text{Gd}-\text{Eu}$  之间具有有效的能量传递，将其包覆在  $\text{YVO}_4:\text{Eu}^{3+}$  的表面，有望提高其发光性能。

本文采用简单的柠檬酸辅助水热法合成了具有均匀形貌、有序结构、尺寸均一的球形  $\text{YVO}_4:\text{Eu}^{3+}$ ，并在其表面包覆一层  $\text{GdVO}_4$ ，研究了包覆前后发光性能的差别。

## 1 实验部分

### 1.1 实验试剂

氧化钆、氧化铕、氧化钇(纯度:99.99%，上海跃龙有色金属有限公司)，偏钒酸铵( $\text{NH}_4\text{VO}_3$ ，分析纯，沈阳试剂厂)，硝酸(纯度:65%~68%，北京化工厂)，柠檬酸(分析纯，天津科密欧化学试剂有限公司)，氢氧化钠(纯度:96%，鑫成化学试剂厂)。

### 1.2 制备过程

首先取一定量的氧化钇、氧化钆和氧化铕，加入适当浓度的硝酸溶液，加热使之溶解并缓慢蒸发除去多余的硝酸，待冷却到室温，加入去离子水，配成  $0.1 \text{ mol}\cdot\text{L}^{-1}$  的硝酸钇和硝酸钆， $0.05 \text{ mol}\cdot\text{L}^{-1}$  的硝酸铕溶液，备用。

#### (1) $\text{YVO}_4:\text{Eu}^{3+}$ 粒子的制备

取一定量的  $\text{Y}(\text{NO}_3)_3$  和  $\text{Eu}(\text{NO}_3)_3$  ( $n_{\text{Y}}:n_{\text{Eu}}=93:7$ ) 溶液，在磁力搅拌条件下，加入沉淀剂  $\text{NH}_4\text{VO}_3$  ( $\text{NH}_4\text{VO}_3$  与  $\text{Y}(\text{NO}_3)_3$  的物质的量比为 6:5)，持续搅拌 30 min，用  $4 \text{ mol}\cdot\text{L}^{-1}$  的  $\text{NaOH}$  溶液调节 pH 为 12，再加入柠檬酸(柠檬酸与稀土离子物质的量比为 2:1)形成混合溶液，将其转移到 50 mL 反应釜中，于 180 °C 下保温 24 h。经冷却、离心分离、分别用去离子水和无水乙醇洗涤 4 次，80 °C 下干燥 8 h 后得到  $\text{YVO}_4:\text{Eu}^{3+}$  粒子。

#### (2) $\text{YVO}_4:\text{Eu}^{3+}$ 表面包覆 $\text{GdVO}_4$ 的制备

取一定量的(1)中制备的  $\text{YVO}_4:\text{Eu}^{3+}$  样品，按  $(n_{\text{Y}}^{3+} + n_{\text{Eu}}^{3+}):n_{\text{Gd}^{3+}}=6:1$  的比例加入  $\text{Gd}(\text{NO}_3)_3$  溶液，再加入一定量的  $\text{NH}_4\text{VO}_3$  粉末 ( $\text{NH}_4\text{VO}_3$  与  $\text{Gd}(\text{NO}_3)_3$  的物质的量比为 6:5)，用  $4 \text{ mol}\cdot\text{L}^{-1}$  的  $\text{NaOH}$  溶液调节 pH 为 12，加入柠檬酸(柠檬酸与稀土离子物质的量比为 2:1)形成混合溶液，将其超声分散 20 min，搅拌 30 min 后转移到 50 mL 反应釜中，于 180 °C 保温 18 h。经离心分离、分别用去离子水和无水乙醇洗涤 4 次，80 °C 下干燥后得到  $\text{YVO}_4:\text{Eu}^{3+}@\text{GdVO}_4$  复合粒子。

### 1.3 表征方法

样品的结构用日本 Bruker D8FOCUS 多晶 X-射线粉末衍射仪(XRD)进行分析，其 X-射线源为  $\text{Cu}-K\alpha_1, \lambda=0.154\ 056\ \text{nm}$ ，扫描范围为  $20^\circ\sim80^\circ$ ，扫描速率为  $0.1^\circ\cdot\text{s}^{-1}$ ，步长为  $10^\circ\cdot\text{min}^{-1}$ 。采用日本岛津公司 8400S 型傅立叶变换红外光谱仪进行样品的红外光谱分析，采用 KBr 压片法，波数范围  $4\ 000\sim400\ \text{cm}^{-1}$ 。样品的形貌通过 FEI 公司的 XL-30 型场发射环境扫描电子显微镜进行观察。采用日本 HITACHI 公司的 F-7000 型荧光光谱仪对样品的发光性能进行测试分析，测量范围为  $200\sim750\ \text{nm}$ ，扫描速率为  $1\ 200\ \text{nm}\cdot\text{min}^{-1}$ ，步长为  $0.2\ \text{nm}$ ，采用 Xe 灯做激发源。采用 VG ESCALAB MK II 型 X-射线光电子能谱(XPS)仪对样品表面进行分析，并使用  $\text{Mg}\ K\alpha(1\ 253.6\ \text{eV})$  作为激励源射线。

## 2 结果与讨论

### 2.1 X 射线衍射分析(XRD)

图 1 为  $\text{YVO}_4:\text{Eu}^{3+}$  粒子和  $\text{YVO}_4:\text{Eu}^{3+}@\text{GdVO}_4$  复合粒子的 XRD 谱图，由图可见，包覆前后样品的衍射峰均与标准卡片(PDF No.17-0341)完全一致，说明包覆前后样品均为四方晶系锆英石结构的  $\text{YVO}_4$ ，晶格参数为： $a=b=0.711\ 9\ \text{nm}, c=0.628\ 9\ \text{nm}$ ，无杂质峰，并且晶体发育良好。包覆前后样品的衍射峰的位置无明显变化，这是由于包覆的壳层  $\text{GdVO}_4$  的晶格参数为： $a=b=0.721\ 3\ \text{nm}, c=0.634\ 8\ \text{nm}$ ，核、壳之间有相似的晶胞参数所致。

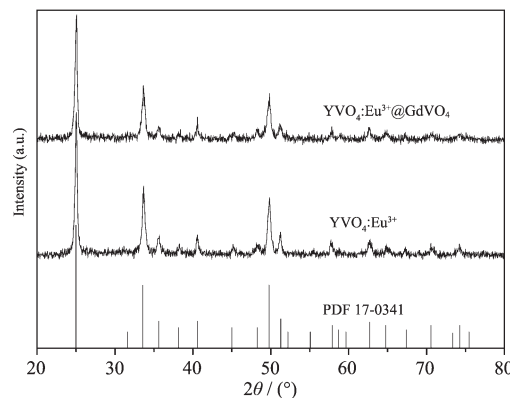
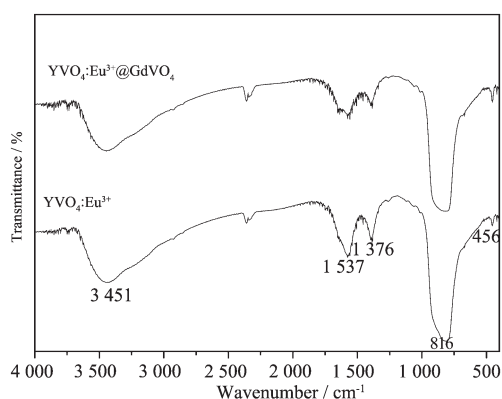


图 1 样品  $\text{YVO}_4:\text{Eu}^{3+}$  和  $\text{YVO}_4:\text{Eu}^{3+}@\text{GdVO}_4$  的 XRD 图

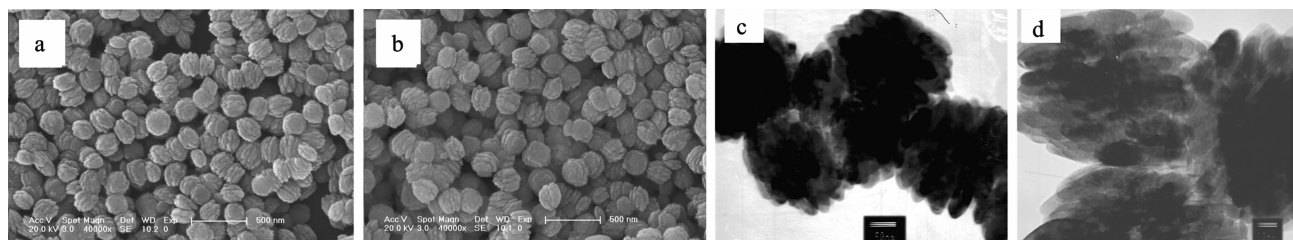
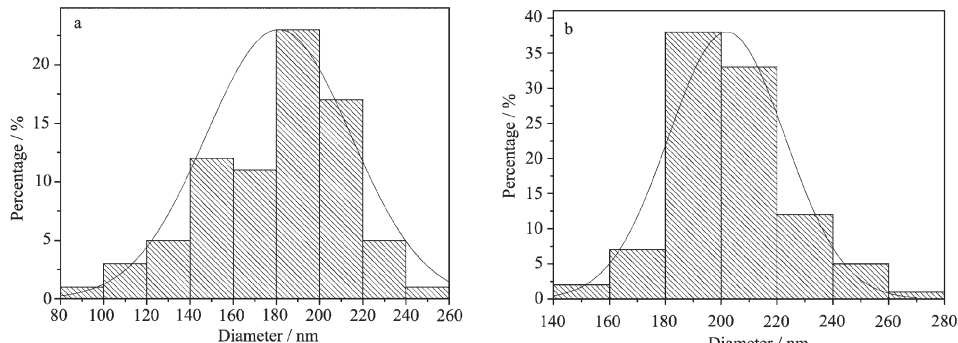
Fig.1 XRD patterns of  $\text{YVO}_4:\text{Eu}^{3+}$  and  $\text{YVO}_4:\text{Eu}^{3+}@\text{GdVO}_4$  samples

### 2.2 红外光谱分析

图 2 是  $\text{YVO}_4:\text{Eu}^{3+}$  粒子和  $\text{YVO}_4:\text{Eu}^{3+}@\text{GdVO}_4$  复合粒子的红外光谱图，从图中可以看出： $816\ \text{cm}^{-1}$  处

图 2 样品 YVO<sub>4</sub>:Eu<sup>3+</sup>和 YVO<sub>4</sub>:Eu<sup>3+</sup>@GdVO<sub>4</sub> 的 FTIR 谱图Fig.2 FTIR spectra of YVO<sub>4</sub>:Eu<sup>3+</sup> and YVO<sub>4</sub>:Eu<sup>3+</sup>@GdVO<sub>4</sub> samples

的强吸收峰来源于 YVO<sub>4</sub>:Eu<sup>3+</sup>中的 V-O 键的振动峰, 456 cm<sup>-1</sup> 处为 Y-O 键的弱的振动峰<sup>[15]</sup>, 在 3 451 cm<sup>-1</sup> 处的振动峰为 H-O-H 的对称伸缩振动峰。1 537、1 376 cm<sup>-1</sup> 附近的吸收峰可能是残留的 NO<sub>3</sub><sup>-</sup>的振动峰和 CO<sub>3</sub><sup>2-</sup>所致的吸收峰。说明经过水热反应过程已得到了较纯的无机 YVO<sub>4</sub> 晶体结构, 与 XRD 结果一致。表面包覆 GdVO<sub>4</sub> 之后的 YVO<sub>4</sub>:Eu<sup>3+</sup>@GdVO<sub>4</sub> 的红外光谱图谱峰的位置无明显变化, 可能是因为包覆层很薄所致。

图 3 YVO<sub>4</sub>:Eu<sup>3+</sup>的 SEM 照片(a), YVO<sub>4</sub>:Eu<sup>3+</sup>@GdVO<sub>4</sub> 的SEM 照片(b)和 TEM 照片(c,d)Fig.3 SEM image of YVO<sub>4</sub>:Eu<sup>3+</sup>(a); SEM image (b) and TEM images(c, d) of YVO<sub>4</sub>:Eu<sup>3+</sup>@GdVO<sub>4</sub>图 4 YVO<sub>4</sub>:Eu<sup>3+</sup>(a)和 YVO<sub>4</sub>:Eu<sup>3+</sup>@GdVO<sub>4</sub>(b)的直径分布直方图Fig.4 Distribution histograms of diameters of the samples (a) YVO<sub>4</sub>:Eu<sup>3+</sup> and (b) YVO<sub>4</sub>:Eu<sup>3+</sup>@GdVO<sub>4</sub>

### 2.3 电镜分析

图 3 是所制备的 YVO<sub>4</sub>:Eu<sup>3+</sup>粒子和 YVO<sub>4</sub>:Eu<sup>3+</sup>@GdVO<sub>4</sub> 样品的 SEM 照片和 TEM 照片。由图 3a 可见, YVO<sub>4</sub>:Eu<sup>3+</sup>为由纳米片组装而成的均匀分散的有序球形结构。

通过粒径分布图 4a 可见: YVO<sub>4</sub>:Eu<sup>3+</sup>球的平均直径为 190 nm, 直径主要分布在 140~220 nm。由图 3b 可见, YVO<sub>4</sub>:Eu<sup>3+</sup>表面包覆 GdVO<sub>4</sub> 之后的样品的形貌仍为均匀分散的有序球形。通过直径分布图 4b 可见, YVO<sub>4</sub>:Eu<sup>3+</sup>@GdVO<sub>4</sub> 的平均直径为 200 nm, 直径主要分布在 160~240 nm, 与未包覆的 YVO<sub>4</sub>:Eu<sup>3+</sup>相比, 其粒度有所增大。由图 3c,d 的 TEM 照片可以清晰的看到壳层和核层之间明显的衬度差别, 说明 YVO<sub>4</sub>:Eu<sup>3+</sup>的表面包覆了一层 GdVO<sub>4</sub>。由于表面包覆厚度决定发光强度<sup>[16-18]</sup>, 因此壳层不能太厚。并且观察到了核层的 YVO<sub>4</sub>:Eu<sup>3+</sup>粒子是由纳米片组装而成的球形结构。

对合成的样品进行了 EDX 分析, 如图 5 所示, 可以观察到 Si、Au、V、O、Y、Eu 和 Gd 元素的谱峰, 其中 Si、Au 元素来源于制样过程, 因为样品是滴在 Si 片上经过镀金膜后进行测试的。从图 5a 中可以看到 V、O、Y 和 Eu 4 种元素来自于样品, 结合 XRD 谱

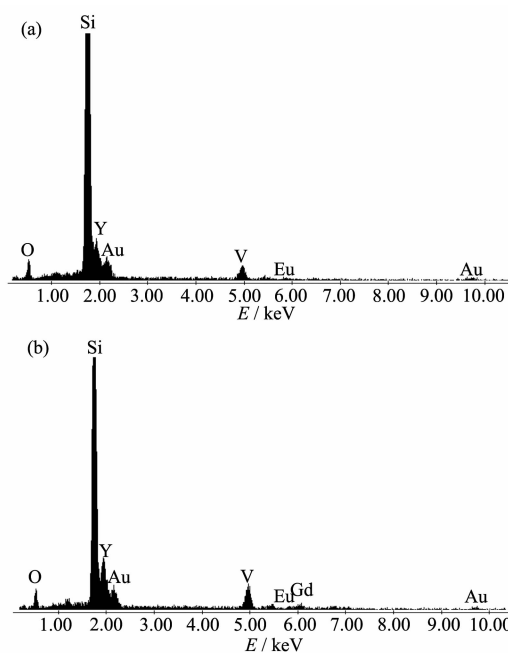


图5 YVO<sub>4</sub>:Eu<sup>3+</sup>(a)和YVO<sub>4</sub>:Eu<sup>3+</sup>@GdVO<sub>4</sub>(b)的EDX谱图  
Fig.5 EDX spectra of the samples (a) YVO<sub>4</sub>:Eu<sup>3+</sup> and (b) YVO<sub>4</sub>:Eu<sup>3+</sup>@GdVO<sub>4</sub>

图,说明样品为YVO<sub>4</sub>:Eu<sup>3+</sup>,同样图5b中可看到V、O、Eu、Y和Gd5种元素的存在,说明YVO<sub>4</sub>:Eu<sup>3+</sup>表面包覆上了GdVO<sub>4</sub>。

#### 2.4 光电子能谱(XPS)分析

为了进一步证明YVO<sub>4</sub>:Eu<sup>3+</sup>表面包覆了GdVO<sub>4</sub>,对包覆后的样品进行了XPS分析,如图6所示。

从图中很清楚的看到V2p、Y3d、O1s、Gd3d、Eu3d的谱峰;其中键能位于140.89 eV处的Y3d的谱峰较弱,尽管YVO<sub>4</sub>:Eu<sup>3+</sup>样品表面包覆GdVO<sub>4</sub>浓度很小( $R=6:1$ ),而键能位于1185.89 eV处的Gd3d的谱峰很明显;由于XPS主要是对表面元素进行分析,说明在样品的表面Gd3d的含量较高,而Y3d的含量较少,进一步证实了YVO<sub>4</sub>:Eu<sup>3+</sup>核的表面包覆了

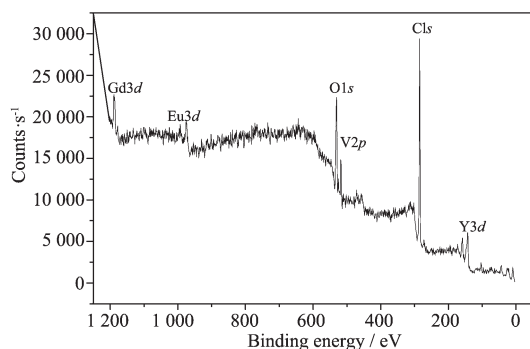


图6 YVO<sub>4</sub>:Eu<sup>3+</sup>@GdVO<sub>4</sub>样品的XPS谱图  
Fig.6 XPS spectrum of YVO<sub>4</sub>:Eu<sup>3+</sup>@GdVO<sub>4</sub> samples

一层GdVO<sub>4</sub>,形成了YVO<sub>4</sub>:Eu<sup>3+</sup>@GdVO<sub>4</sub>核壳结构,而不是(Y, Eu, Gd)VO<sub>4</sub>化合物。此结果与文献<sup>[19-20]</sup>得出的结论一致。

#### 2.5 荧光光谱分析

图7(A)是包覆前后样品的激发光谱图,监测波长为620 nm。包覆前的YVO<sub>4</sub>:Eu<sup>3+</sup>和包覆后的YVO<sub>4</sub>:Eu<sup>3+</sup>@GdVO<sub>4</sub>的谱峰位置无明显变化。两个样品均从200~360 nm范围内有极强的宽带吸收,其中276 nm附近的宽峰归属于Eu-O和V-O的电荷迁移带<sup>[21]</sup>,由于Gd<sup>3+</sup>的<sup>8</sup>S-<sup>6</sup>I跃迁(约278 nm处)也在此范围内,并为较弱的肩峰,所以很可能被此宽峰覆盖。350 nm以后弱的吸收峰归属于Eu<sup>3+</sup>的电子组态跃迁<sup>7</sup>F<sub>0</sub>-<sup>5</sup>D<sub>4</sub>、<sup>7</sup>F<sub>0</sub>-<sup>5</sup>G<sub>j</sub>、<sup>7</sup>F<sub>0</sub>-<sup>5</sup>L<sub>7</sub>、<sup>7</sup>F<sub>0</sub>-<sup>5</sup>L<sub>6</sub>、<sup>7</sup>F<sub>0</sub>-<sup>5</sup>D<sub>3</sub>和<sup>7</sup>F<sub>0</sub>-<sup>5</sup>D<sub>2</sub><sup>[22-25]</sup>。

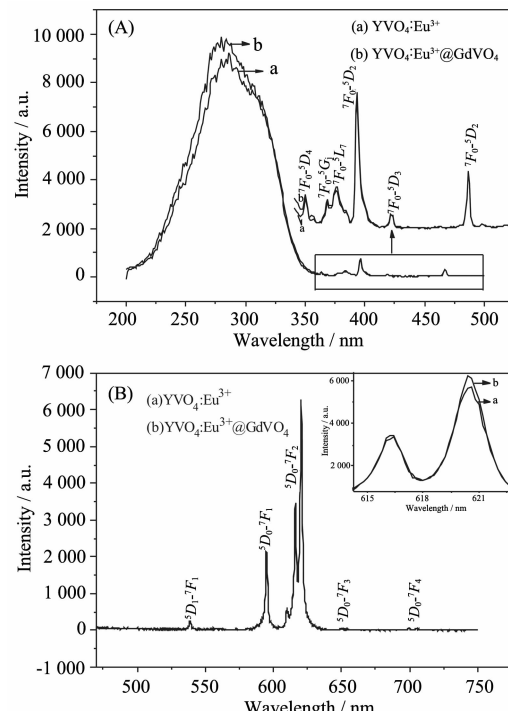


图7 YVO<sub>4</sub>:Eu<sup>3+</sup>(a)和YVO<sub>4</sub>:Eu<sup>3+</sup>@GdVO<sub>4</sub>(b)样品的激发(A)和发射(B)光谱图

Fig.7 Excitation (A) and Emission (B) spectra of YVO<sub>4</sub>:Eu<sup>3+</sup> (a) and YVO<sub>4</sub>:Eu<sup>3+</sup>@GdVO<sub>4</sub> (b)

图7(B)是包覆前后样品的发射光谱图,激发波长为276 nm,均由Eu<sup>3+</sup>的<sup>5</sup>D<sub>0</sub>-<sup>7</sup>F<sub>J</sub>(J=1,2,3,4)跃迁群组成,分别为主发射峰<sup>5</sup>D<sub>0</sub>-<sup>7</sup>F<sub>2</sub>(610,615和620 nm)跃迁和弱的<sup>5</sup>D<sub>0</sub>-<sup>7</sup>F<sub>1</sub>(593 nm)、<sup>5</sup>D<sub>0</sub>-<sup>7</sup>F<sub>3</sub>(652 nm)、<sup>5</sup>D<sub>0</sub>-<sup>7</sup>F<sub>4</sub>(701和706 nm)跃迁。最强发射峰位于620 nm,对应于Eu<sup>3+</sup>的电偶极跃迁,是Eu<sup>3+</sup>的特征红光发射峰。各样品发射峰的位置基本一致,当YVO<sub>4</sub>:Eu<sup>3+</sup>表面包覆GdVO<sub>4</sub>之后的发射峰强度比未包覆的YVO<sub>4</sub>:Eu<sup>3+</sup>明

显增强,如图7(B)中插图所示。认为发光增强的原因是:一是由于基质GdVO<sub>4</sub>中Gd<sup>3+</sup>离子和发光中心Eu<sup>3+</sup>之间具有能量传递;二是表面适当的包覆一层GdVO<sub>4</sub>之后,降低了纳米级材料表面的悬空键(断键)、不饱和键、空位、缺陷等因素对发光产生的负面影响,减少无辐射途径,抑制了能量转移过程中的荧光猝灭,导致YVO<sub>4</sub>:Eu<sup>3+</sup>表面包覆基质GdVO<sub>4</sub>后发光强度增强<sup>[18,25-26]</sup>。

### 3 结 论

采用水热法制备了均匀分散有序结构的球形YVO<sub>4</sub>:Eu<sup>3+</sup>和同样形貌的核-壳型YVO<sub>4</sub>:Eu<sup>3+</sup>@GdVO<sub>4</sub>纳米发光材料。测试结果表明:包覆前后样品均为四方晶系的锆英石结构的YVO<sub>4</sub>。YVO<sub>4</sub>:Eu<sup>3+</sup>的表面包覆了一层GdVO<sub>4</sub>后,发光强度增强。

### 参考文献:

- [1] Wu X C, Tao Y R, C Y S, et al. *J. Phys. Chem.*, **2006**,**110**: 15791-15796
- [2] Qiao Y B, Liu X F, Zhang Q, et al. *Mater. Lett.*, **2010**,**64**: 1306-1308
- [3] Wang J, Xu Y H, Wang M Q, et al. *Mater. Chem. Phys.*, **2010**,**119**:169-174
- [4] Xiao X Z, Lu G Z, Shen S D, et al. *Mater. Sci. Eng. B*, **2011**,**176**:72-78
- [5] Lai Y C, Yin W W, Liu J T, et al. *Nanoscale Res. Lett.*, **2010**,**5**:302-307
- [6] Lartigue, Oumzil K, Guari Y, et al. *Org. Lett.*, **2009**,**11**:14-17
- [7] ZHOU Fang-Ting(周芳亭), SHI Jian-Xin(石建新), ZHANG Xin-Guo (张信果). *J. Sun Yat-sen Univ. (Zhongshan Daxue Xuebao)*, **2009**,**48**(5):67-69
- [8] WANG Nian(王念), CHEN Wen(陈文), ZHOU Jing(周静). *J. Ceram. (Taoci Xuebao)*, **2007**,**28**(2):79-83
- [9] WANG Juan(王娟), XU Yun-Hua(许云华), WU Hong(吴宏). *Hot Working Technol. (Rejiagong Gongyi)*, **2009**,**38**(14):24-27
- [10] LI Yan-Hong(李艳红), LIU Qian(刘茜), ZHANG Yang (张杨). *J. Rare Earth (Xitu Xuebao)*, **2010**,**28**(1):6-9
- [11] Zhou Q, Zhang L C, Fan H Y et al. *Sensors and Actuators B*, **2010**,**144**:192-197
- [12] LIU Gui-Xia(刘桂霞), PENG Hong-Xia(彭红霞), FAN Shui-Gao(范水高). *Acta Chim. Sin. (Huaxue Xuebao)*, **2011**,**69**: 1081-1086
- [13] LU Xu-Guang(鲁雪光), QIU Ke-Hui(邱克辉), HU Xin-Ge (胡新鸽), et al. *Mater. Rev. (Cailiao Daobao)*, **2009**,**23**(2):6-15
- [14] Kang J, Zhang X Y, Sun L D. *Talanta.*, **2007**,**71**:1186-1191
- [15] Ningthoujam R S, Singh L R, Sudarsan V, et al. *J. Alloys Compds.*, **2009**,**484**:782-789
- [16] Zhu H L, Zuo D T. *J. Phys. Chem. C.*, **2009**,**113**:10402-10406
- [17] Zhu H L, Hu H H, Wang Z K, et al. *Nanoscale Res. Lett.*, **2009**,**4**:1009-1014
- [18] Yang M, You H P, Liu K, et al. *Inorg. Chem.*, **2010**,**49**: 4996-5002
- [19] Yue P F, An W X, Wen F D. *Small*, **2005**,**10**:967-971
- [20] Wang Z L, Quan Z W, Jia P Y, et al. *Chem. Mater.*, **2006**, **18**:2030-2037
- [21] ZHANG Hui (张辉), DONG Li-Min (董丽敏), ZHANG Guang-Ping (张广平), et al. *Chem. Engineer (Huaxue Gongchengshi)*, **2008**,**12**(3):12-14
- [22] Liu X L, Zhou F, Gu M, et al. *Opt. Mater.*, **2008**,**31**:126-130
- [23] Bae J S, Park S S, Hong T E, et al. *Current Appl. Phys.*, **2009**,**9**:S241-S244
- [24] Chung J W, Yang H K, Moon B K, et al. *Current Appl. Phys.*, **2009**,**9**:S222-S225
- [25] Park K, Nam S W, Heo M H. *Ceram. Intern.*, **2010**,**36**:1541-1544
- [26] BAI Hai-Ying(白海英), LIU Gui-Xia(刘桂霞), DONG Xiang-Ting (董相廷), et al. *Acta Chim. Sin. (Huaxue Xuebao)*, **2011**,**69**:783-788